

تأثیر عامل شکل صفحات مستغرق بر مدیریت رسوبات بار بستر

رضا عزیزی^{*}، محمود شفاعی بجستان و مهدی قمشی^{**}

^{*} نگارنده مسئول، نشانی: زنجان، دانشگاه زنجان، دانشکده کشاورزی، گروه مهندسی آب، کد پستی: ۴۵۳۷۱۳۸۷۹۱، پیامنگار:

re_azizi@ymail.com

^{**} به ترتیب استادیار گروه مهندسی آب، دانشکده کشاورزی، دانشگاه زنجان؛ و استادان گروه سازه‌های آبی، دانشکده مهندسی علوم آب،

دانشگاه شهید چمران، اهواز

تاریخ دریافت: ۹۱/۶/۲؛ تاریخ پذیرش: ۹۲/۳/۲۵

چکیده

شکل صفحات مستغرق یکی از عوامل مهم طراحی صفحات است که الگوی جریان‌های ثانویه ناشی از صفحات و عملکرد صفحات را تحت تأثیر قرار می‌دهد. در چنین شرایطی، تغییراتی در توزیع رسواب بستر حاصل خواهد شد که می‌تواند به ساماندهی رودخانه کمک کند. در این تحقیق با اجرای بیست آزمایش، تأثیر پنج شکل مختلف از صفحات مستغرق تحت شرایط هیدرولیکی مختلف (چهار شدت جریان (U/U_c) برابر با $0/93$ ، $0/10$ و $1/10$ و $1/19$) بر فرآیندهای رسوابی (آب‌شستگی موضعی در لبه ابتدایی صفحات و نحوه توزیع عرضی رسوابات در پایین دست صفحات) بررسی شد. نتایج مقایسه توبوگرافی بستر رسوابی در فلوم آزمایشگاهی، نشان می‌دهد که صفحه با لبه ابتدایی گرد شده و ضخامت کاهش یافته در امتداد طول صفحه، نسبت به صفحات مستطیلی متداول، بهترین عملکرد را در کاهش آب‌شستگی موضعی (به میزان $12/3$ ، $17/3$ و $6/1$ درصد به ترتیب در شدت جریان $0/78$ ، $0/93$ و $1/10$ و $1/19$) داشته است. کاهش سطح مقطع صفحات نه تنها رسواب گذاری را کاهش نداده، بلکه افزایش تراز بستر در سمت پرفشار صفحات نیز اتفاق افتاده است.

واژه‌های کلیدی

آب‌شستگی موضعی، جریان ثانویه، صفحه مستغرق، مدل فیزیکی

مقدمه

بخش عمده‌ای از این تحقیقات به ابعاد صفحات، فواصل طولی و عرضی و زاویه نصب صفحات، و جانمایی صفحات اختصاص یافته است (Odgaard & Kennedy, 1983; Odgaard & Mosconi, 1987; Odgaard & Spoljaric, 1986; Odgaard & Wang, 1991a; Soleimani-Osboei, 1996; Behzadipoor, 1997; Tan *et al.*, 2005; Shams-Aldini-Nejad & Keshavarzi, 2006; Valizadeh *et al.*, 2008; Hosaini *et al.*, 2010)

در کنار عوامل مذکور، شکل صفحات نیز از عوامل مهمی است که اصلاح و بهینه‌سازی آن کمک شایانی به

تکنیک صفحات مستغرق یکی از روش‌های نوین کنترل و مدیریت رسوابات در رودخانه‌ها و مجاری آبرفتی است که در دهه‌های اخیر تئوری و اصول طراحی آن توسعه داده شده است. صفحات مستغرق یکی از روش‌های مؤثر جهت حفاظت سواحل رودخانه‌ها در مقابل فرسایش، جلوگیری از ورود رسوابات به سازه‌های آبگیری از رودخانه، و تعمیق بستر رسوابی و تثبیت خط القعر رودخانه‌ها است. تا کنون تحقیقات آزمایشگاهی و میدانی بسیاری به منظور اصلاح و بهینه‌سازی معیارهای طراحی این گونه صفحات صورت گرفته است.



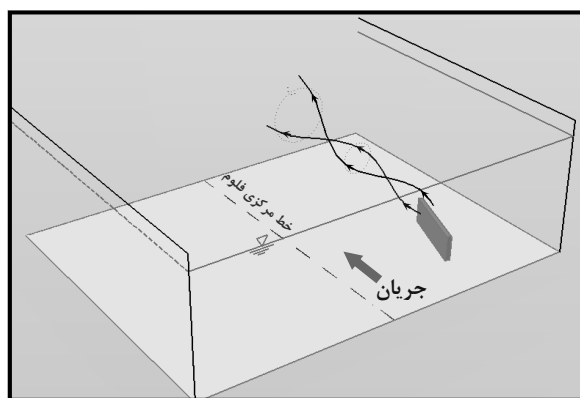
© 2015, The Author(s). Published by [Agricultural Engineering Research Institute](#). This is an open-access article distributed under the terms of the Creative Commons Attribution License (<https://creativecommons.org/licenses/by/4.0/>).

پرفشار، مؤلفه سرعت رو به بالا و در سمت کم فشار مؤلفه سرعت رو به پایین ایجاد می شود. این مؤلفه های قائم سرعت، موجب تشکیل گردابه هایی در پشت لبه انتهایی صفحه می شوند. گردابه ها در محلی، کمی پایین تر از يال فوقانی صفحه، در هم می پیچند و منشأ شکل گیری گردابه ای بزرگ تر می شوند که ضمن چرخش در صفحه قائم عمود بر جریان، به همراه جریان اصلی در جهت پایین دست امتداد می یابد. این جریان چرخشی سبب تغییراتی در تنش برشی بستر، توزیع عرضی رسوبات و توپوگرافی بستر رسوی می گردد (Odgaard & Wang, 1991a).

شکل ۱ شماتیک جریان چرخشی حاصل از صفحه مستغرق را نشان می دهد. در این شکل، سمت پرفشار صفحه در مجاور دیواره راست فلوم، و سمت کم فشار به طرف خط مرکزی فلوم قرار دارد. در نتیجه یک جریان چرخشی پاد ساعت گرد تولید شده است.

عملکرد صفحات می کند و ضرورت دارد تا جنبه های مختلف این عامل بررسی شود.

صفحات مستغرق به صورت قائم و با زاویه ای کم نسبت به جریان نزدیک شونده در بستر آبراهه نصب می شوند. با استقرار صفحه مستغرق، جریان های ثانویه در دو طرف آن تولید می شود که با امتداد یافتن در جهت پایین دست، جریان چرخشی بزرگ تری ایجاد می کنند. شکل گیری جریان های ثانویه به دلیل وجود گرادیان قائم فشار در هر دو طرف صفحه است. وجهی از صفحه که مستقیماً در معرض جریان نزدیک شونده بالا دست قرار دارد، سمت پرفشار نامیده می شود. در این سمت، در امتداد ارتفاع صفحه، فشار از پایین به بالا کاهش می یابد. در وجه مقابل که سمت کم فشار نامیده می شود، فشار از پایین به بالا افزایش می یابد. در نتیجه توزیع معکوس فشار در دو طرف صفحه، جریانی ثانوی از سمت پرفشار به سمت کم فشار برقرار می شود و به عبارت دیگر، در سمت



شکل ۱- شماتیک جریان چرخشی ناشی از یک صفحه مستغرق
(Odgaard & Wang, 1991a)

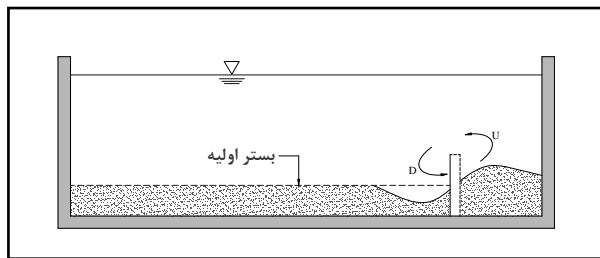
(در شکل ۲ جهت جریان، عمود بر تصویر، به طرف داخل است). قدرت جریان چرخشی ناشی از صفحه مستغرق، ضمن انتقال به پایین دست، در نتیجه نیروهای لزجی جریان (پخشیدگی لزجی) تضعیف می شود (Lazarian, Odgaard & Wang, 1991a).

شکل ۲ نحوه تأثیر صفحه مستغرق در توزیع عرضی رسوبات و تغییرات توپوگرافی بستر رسوی را در مقطعی از یک فلوم نشان می دهد. در این شکل، بردار U مؤلفه رو به بالا سرعت در سمت پرفشار، و بردار D مؤلفه رو به پایین سرعت در سمت کم فشار صفحه است.

متشكل از تعداد زیادی صفحه منفرد است استفاده می‌شود. در این حالت نیز فواصل طولی و عرضی بین صفحات، و فاصله آن‌ها از ساحل آبراهه و سازه‌های مجاور، از عوامل تأثیرگذار بر عملکرد صفحات است که در صورت بهینه نبودن، صفحات تأثیر منفی متقابلی بر عملکرد یکدیگر خواهند داشت.

تأثیر صفحه مستغرق و توان آن در توزیع عرضی رسوبات بستر محدود است. به این دلیل، در تحقیقات بسیاری از محققان، سعی شده است تا عوامل مؤثر بر قدرت جریان چرخشی و عملکرد صفحات، شناسایی و بهینه‌سازی شوند.

در کاربردهای عملی، غالباً از مجموعه‌ای صفحات که



شکل ۲- تغییر نیم رخ عرضی بستر رسوی در نتیجه استقرار یک صفحه مستغرق
(Odgaard & Wang, 1991a)

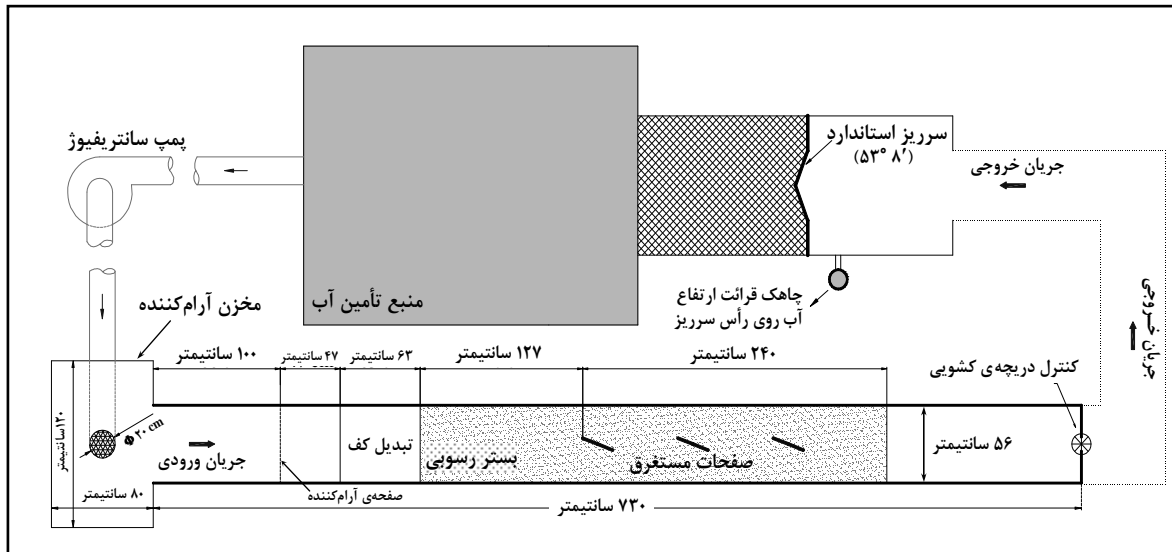
به سمت بالادست جریان متمایل شده، موجب افزایش عملکرد، و صفحه متوازی‌الاضلاعی که یال فوقانی آن به سمت پایین‌دست متمایل شده، موجب کاهش عملکرد می‌شود.

در تحقیق حاضر، معیار ارزیابی عملکرد صفحات عبارت است از نحوه تأثیر صفحات بر آب‌شستگی موضوعی و میزان افزایش تراز بستر در سمت پرفشار صفحات (سمت ساحل فلوم که تشکیل خاکریز و افزایش تراز بستر مورد انتظار است). هدف تحقیق حاضر ارزیابی و مقایسه پنج شکل مختلف از صفحات و تعیین بهترین عملکرد با استفاده از مدل فیزیکی است.

مواد و روش‌ها

تحقیق حاضر در آزمایشگاه هیدرولیک دانشگاه شهید چمران اهواز و با استفاده از یک فلوم آزمایشگاهی با سیستم گردشی به طول $7/3$ متر، عرض $0/56$ متر و ارتفاع $0/6$ متر اجرا شد (شکل ۳).

از جمله تحقیقاتی که به بررسی شکل صفحات پرداخته است می‌توان به اوانگ (Ouyang, 2009) اشاره کرد. در تحقیق مذکور با استفاده از یک مدل محاسباتی که با داده‌های آزمایشگاهی (Odgaard & Spoljaric, 1986; Wang, 1991) واسنجی شده، صفحاتی با نسبت‌های متفاوت طول به عرض و صفحاتی به شکل‌های ذوزنقه و متوازی‌الاضلاع به صورت منفرد ارزیابی شده‌اند. در این تحقیق صفحاتی که موجب رسوب‌گذاری بیشتری در سمت پرفشار شدن، به عنوان صفحات بهینه انتخاب شدند. بر اساس مطالعات اوانگ (Ouyang, 2009) با شرط ثابت ماندن مساحت سطح ذوزنقه‌ای شکل با ارتفاع ثابت و یال‌های تحتانی و فوقانی با طول متفاوت، موجب افزایش عملکرد، و صفحه ذوزنقه‌ای شکلی که به ازای طول ثابت قاعده و افزایش ارتفاع، طرح شده موجب کاهش عملکرد صفحه می‌شود. همچنین صفحه متوازی‌الاضلاعی که یال فوقانی آن



شکل ۳- نمای پلان مدل آزمایشگاهی مورد استفاده در تحقیق حاضر

ضمن این که دبی آستانه حرکت رسوبات، بر اساس مشاهدات آزمایش‌های اولیه $U_c = 0.38$ مترمکعب بر ثانیه تعیین شد. برای مقادیر $U/U_c < 1$ شرایط آب‌شستگی آب زلال و به ازای $U/U_c > 1$ شرایط بستر متحرک (بستر زنده) برقرار بود.

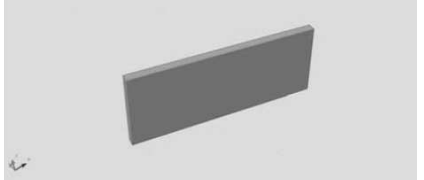
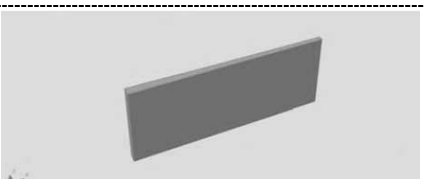
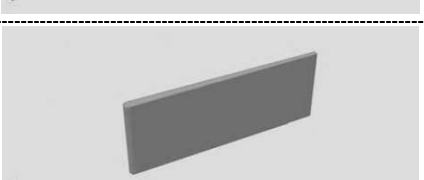
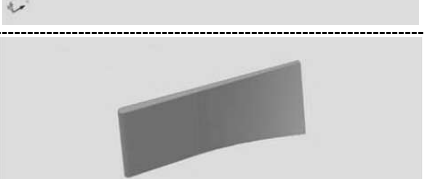
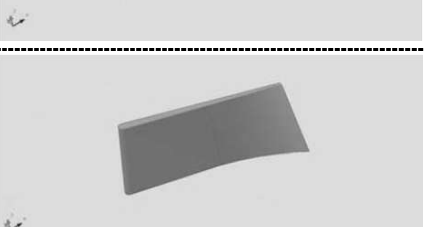
کمترین و بیشترین مقدار عدد رینولدز جریان $R_e = R_h U/v$ ، که در آن $R_h = R_h/U/v$ شعاع هیدرولیکی مجرى؛ U = سرعت متوسط جریان؛ و v = لزوجت سینماتیک جریان) به ترتیب برابر با $2/8 \times 10^4$ و 2×10^4 بود. شبیه اولیه بستر رسوبی صفر بود. طرح صفحات بر اساس این فرض بود که کوچک‌ترین تغییرات در شکل صفحات، بر نیروهای هیدرودینامیکی که از طرف جریان بر صفحات اعمال می‌شود مؤثر است، ضمن این که اصول طراحی صفحات بر مبنای تئوری ایرفویل است و از این روز از صفحه B_1 (صفحة مستطیلی ساده) تا صفحه B_5 ، به طور گام به گام بر تغییرات شکل صفحات افزوده شده است (ستون ملاحظات در جدول ۱).

بازهای از فلوم به طول $3/67$ متر، به ضخامت 10 متر از ماسه طبیعی (رسوبات رودخانه‌ای) با قطر متوسط 0.0005 متر و انحراف معیار هندسی $d_{84}/d_{16} = 1/2$ پوشیده شد، که در آن d_{84} و d_{16} اندازه ذره‌ای هستند که به ترتیب شانزده، و هشتاد و چهار درصد وزنی ذرات رسوب مورد آزمایش از آن اندازه کوچک‌ترند. به ازای $1/3 < \sigma$ مصالح بستر رسوبی یکنواخت فرض می‌شوند. همچنین به ازای $1/3 < \sigma$ از اثر حفاظتی ذرات رسوبی درشت‌تر^۱ صرف‌نظر می‌شود (Raudkivi & Ettema, 1985). توصیف مدل آزمایشگاهی در تحقیق عزیزی و شفاعی‌بحستان (Azizi & Shafai-Bejestan, 2011) ارائه شده است. در این تحقیق، آزمایش‌ها در شدت‌های جریان (U/U_c) 0.78 ، 0.93 ، 1.10 و 1.19 (به ترتیب متناظر با دبی‌های $3/0.45$ ، $4/0.45$ و $5/0.45$ مترمکعب بر ثانیه) و روی پنج شکل مختلف صفحات (جدول ۱) اجرا شد. U سرعت متوسط جریان و U_c سرعت آستانه حرکت رسوبات است.

1- Armoring Effect

تأثیر عامل شکل صفحات مستغرق بر مدیریت...

جدول ۱- مشخصات صفحات مورد استفاده در تحقیق حاضر

نوع صفحه	نمای سه بعدی صفحات	ملاحظات
B _۱		صفحة مستطیلی ساده ضخامت صفحه: ۱ سانتی متر
B _۲		مشابه صفحه B _۱ ، با این تفاوت که ضخامت صفحه، از لبه ابتدایی تا لبه انتهایی، به طور یکنواخت از ۱ سانتی متر به ۰/۵ سانتی متر کاهش می‌یابد
B _۳		مشابه صفحه B _۲ ، با این تفاوت که لبه ابتدایی صفحه، نیم دایره‌ای شده است (شعاع نیم دایره ۰/۵ سانتی متر است).
B _۴		مشابه صفحه B _۲ ، با این تفاوت که بخش تحتانی انتهای صفحه انحنادار شده است.
B _۵		مشابه صفحه B _۴ ، با این تفاوت که طول یال تحتانی به اندازه ۳/۵ سانتی متر افزایش و طول یال فوقانی صفحه به اندازه ۳/۵ سانتی متر کاهش یافته است.

$$H_o = 0/3 d_o \quad (1)$$

$$L = 3 H_o \quad (2)$$

$$\delta_s = 10 H_o \quad (3)$$

هر یک از صفحات، در چهار شدت جریان بررسی و در مجموع بیست آزمایش اجرا شد (جدول ۲). در هر آزمایش، بستر رسویی با استفاده از یک تراز حباب دار کاملاً مسطح می‌شد، سپس به مدت ۱۸۰ دقیقه، جریان در فلوم برقرار می‌گردید. ۱۸۰ دقیقه مدت زمانی است که طول می‌کشد تا اولین موج فرم بستری، که در پایین دست

در هر آزمایش، هر نوع از صفحات مستغرق در یک سیستم سه ردیفه با یک صفحه در هر ردیف، در امتداد خط مرکزی فلوم و با زاویه ۲۰ درجه نسبت به جریان اصلی نصب شدند. در تمام آزمایش‌ها عمق جریان (d_o، ثابت و برابر با ۰/۲۵ متر بود. ارتفاع اولیه (H_o) و طول (L) صفحه مستطیلی ساده و فاصله مرکز تا مرکز صفحات در امتداد طولی (δ_s) در سیستم صفحات، بر اساس معیارهای ارائه شده توسط اوگارد (Odgaard, 2008) (روابط ۱ تا ۳) به ترتیب ۰/۰۷۵ و ۰/۰۷۵ و ۰/۰۲۲۵ متر تعیین شد.

قبل از تبدیل کف، با رسوبات انباشته شد. با این روش در حین آزمایش، رسوبات به صورت بار بستر وارد محدوده اصلی آزمایش (بازه ۱۲۷+۲۴۰ سانتی‌متر در شکل ۳) می‌شوند و ضمن انتقال به پایین‌دست در فرآیندهای رسوبی ناشی از صفحات مستغرق شرکت می‌کنند. پس از اتمام هر آزمایش بستر رسوبی زهکشی و با استفاده از دستگاه فاصله‌سنج لیزری، نیم‌رخ عرضی بستر رسوبی در چندین مقطع، شامل لبه ابتدایی و مرکز صفحات و نیز در مقاطعی در پایین‌دست صفحات، برداشت می‌شد.

صفحات شکل می‌گیرد، در شرایط کمترین شدت جریان ($U/U_c = 0/78$) به انتهای بازه رسوبی برسد. در این مدت زمان، فرآیندهای رسوبی مورد نظر در این تحقیق کامل شده است.

همچنین، با مقایسه عمق جریان و ارتفاع اولیه صفحات مشخص می‌شود که عمق جریان همواره بیش از سه برابر ارتفاع صفحات است (استغراق نسبی ۷۰ درصد صفحات) که در نتیجه آن، استقرار صفحات نیم‌رخ سطح آزاد جریان را تحت تأثیر قرار نمی‌دهد. به منظور ایجاد شرایط بستر متحرک در شدت‌های جریان ۱/۱۰ و ۱/۱۹ در بخش ابتدایی فلوم،

جدول ۲- برنامه آزمایش‌های انجام شده در تحقیق حاضر

آزمایش	نوع صفحه	شدت جریان	زمان (دقیقه)	قطر متوسط رسوبات (میلی‌متر)	استغراق نسبی (درصد)
۱	B _۱	۰/۷۸	۱۸۰	۰/۵	۷۰
۲	B _۱	۰/۹۳	۱۸۰	۰/۵	۷۰
۳	B _۱	۱/۱۰	۱۸۰	۰/۵	۷۰
۴	B _۱	۱/۱۹	۱۸۰	۰/۵	۷۰
۵	B _۲	۰/۷۸	۱۸۰	۰/۵	۷۰
۶	B _۲	۰/۹۳	۱۸۰	۰/۵	۷۰
۷	B _۲	۱/۱۰	۱۸۰	۰/۵	۷۰
۸	B _۲	۱/۱۹	۱۸۰	۰/۵	۷۰
۹	B _۲	۰/۷۸	۱۸۰	۰/۵	۷۰
۱۰	B _۲	۰/۹۳	۱۸۰	۰/۵	۷۰
۱۱	B _۲	۱/۱۰	۱۸۰	۰/۵	۷۰
۱۲	B _۲	۱/۱۹	۱۸۰	۰/۵	۷۰
۱۳	B _۴	۰/۷۸	۱۸۰	۰/۵	۷۰
۱۴	B _۴	۰/۹۳	۱۸۰	۰/۵	۷۰
۱۵	B _۴	۱/۱۰	۱۸۰	۰/۵	۷۰
۱۶	B _۴	۱/۱۹	۱۸۰	۰/۵	۷۰
۱۷	B _۵	۰/۷۸	۱۸۰	۰/۵	۷۰
۱۸	B _۵	۰/۹۳	۱۸۰	۰/۵	۷۰
۱۹	B _۵	۱/۱۰	۱۸۰	۰/۵	۷۰
۲۰	B _۵	۱/۱۹	۱۸۰	۰/۵	۷۰

بستر رسوی ناشی از صفحه B_5 ، پس از قطع جریان، شدت جریان $1/19$ ارائه شده است. با توجه شکل ۴ (الف) شرایط بستر رسوی در بالادست صفحات بدون تغییر باقی مانده و فرسایش و کاهش ترازی رخ نداده است. در شکل ۴ (ب) رسوی گذاری و تجمع رسویات در سمت پرفشار صفحات، و فرسایش و کاهش تراز در سمت کم فشار صفحات مشاهده می شود.



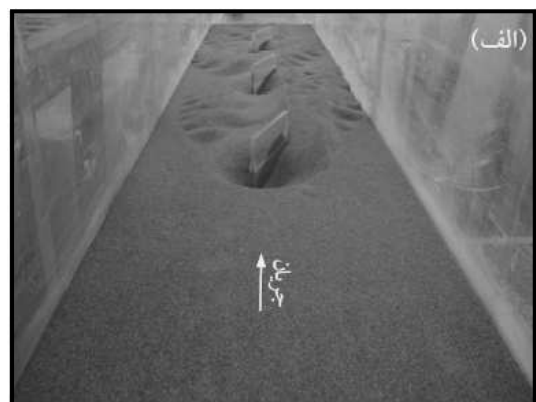
شکل ۴- (الف) توپوگرافی بستر رسوی پس از زهکشی کامل، صفحه نوع B_1 در $U/U_c = 0/78$ و

(ب) توپوگرافی بستر رسوی پس از قطع جریان، صفحه نوع B_5 در $U/U_c = 1/19$

به خط مرکزی فلوم ترسیم شده است. با توجه به شکل های ۵ (الف، ب، ج، د)، کمترین آب شستگی در لب ابتدایی صفحه B_3 رخ داده است. در شکل های ۵ (ه، ز، ح) با مقایسه نمودارهای نیمرخ عرضی مربوط به صفحات B_4 و B_5 ، با نمودارهای مربوط به صفحه B_3 ، مشخص می شود که آب شستگی ناشی از صفحه B_3 نسبت به صفحات B_4 و B_5 نیز کمتر است. تنها تفاوت در روند مشاهده شده، به صفحه B_4 در $U/U_c = 0/93$ (شکل ۵-ز) مربوط می شود که ناشی از خطاهای آزمایشی است. روند تغییرات عمق آب شستگی در لب ابتدایی صفحات در جدول ۳ خلاصه شده است. با توجه به جدول ۳ و صرف نظر از دو داده انتهایی ستون (۷) که نامتناسب با سایر داده های جدول هستند، کمترین عمق آب شستگی و به ازای آن، بیشترین درصد کاهش آب شستگی مربوط به صفحه B_3 است.

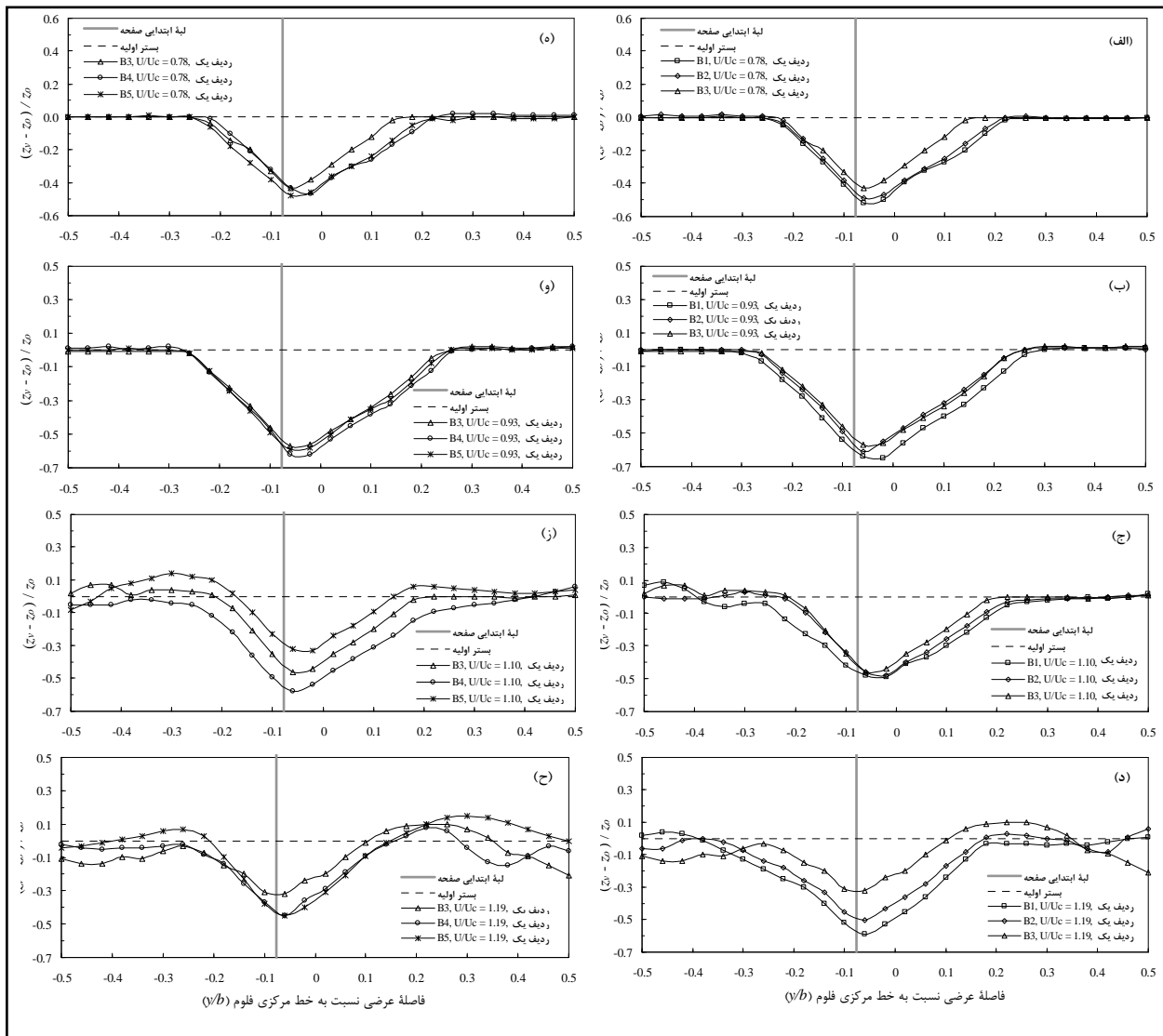
مشاهدات

در تحقیق حاضر، در شدت جریان $0/78$ و $0/93$ شرایط آب شستگی آب زلال، و در شدت جریان $1/10$ و $1/19$ شرایط آب شستگی بستر متحرک برقرار بود. در شکل ۴ (الف) نمونه ای از توپوگرافی بستر رسوی، ناشی از صفحه B_1 ، پس از زهکشی کامل بستر رسوی، در شدت جریان $0/84$ ، و در شکل ۴ (ب) نمونه ای از توپوگرافی



نتایج و بحث

با استفاده از داده های مربوط به توپوگرافی بستر رسوی می توان تأثیر شکل های مختلف صفحات را بر آب شستگی موضعی پیرامون صفحات و الگوی رسوی گذاری عرضی رسویات ارزیابی کرد. به این منظور در شکل ۵، نیمرخ عرضی بستر رسوی در محل لب ابتدایی صفحات در اولین ردیف، در اعداد فرود مختلف، ترسیم شده است. برای گویایی نمودارها، ابتدا در شکل های ۵ (الف، ب، ج، د) نمودارهای مربوط به صفحات B_1 ، B_2 ، و B_3 ارائه شده، و سپس در شکل های ۵ (ه، ز، ح) نمودارهای مربوط به صفحات B_4 و B_5 در مقایسه با صفحه B_3 ترسیم شده اند. در این شکل z_0 تراز بستر رسوی اولیه و z تراز بستر رسوی در نتیجه استقرار صفحات است. در شکل ۵ بستر رسوی اولیه با خط چین افقی و موقعیت لب ابتدایی صفحات با خط پر قائم نسبت



شکل ۵- نیم رخ عرضی بستر رسوی در محل لبه ابتدایی اولین صفحه

(الف) $U/U_c = 0.78$ (ب) $U/U_c = 0.93$ (ج) $U/U_c = 0.95$ (د) $U/U_c = 1.10$ (ه) $U/U_c = 1.19$

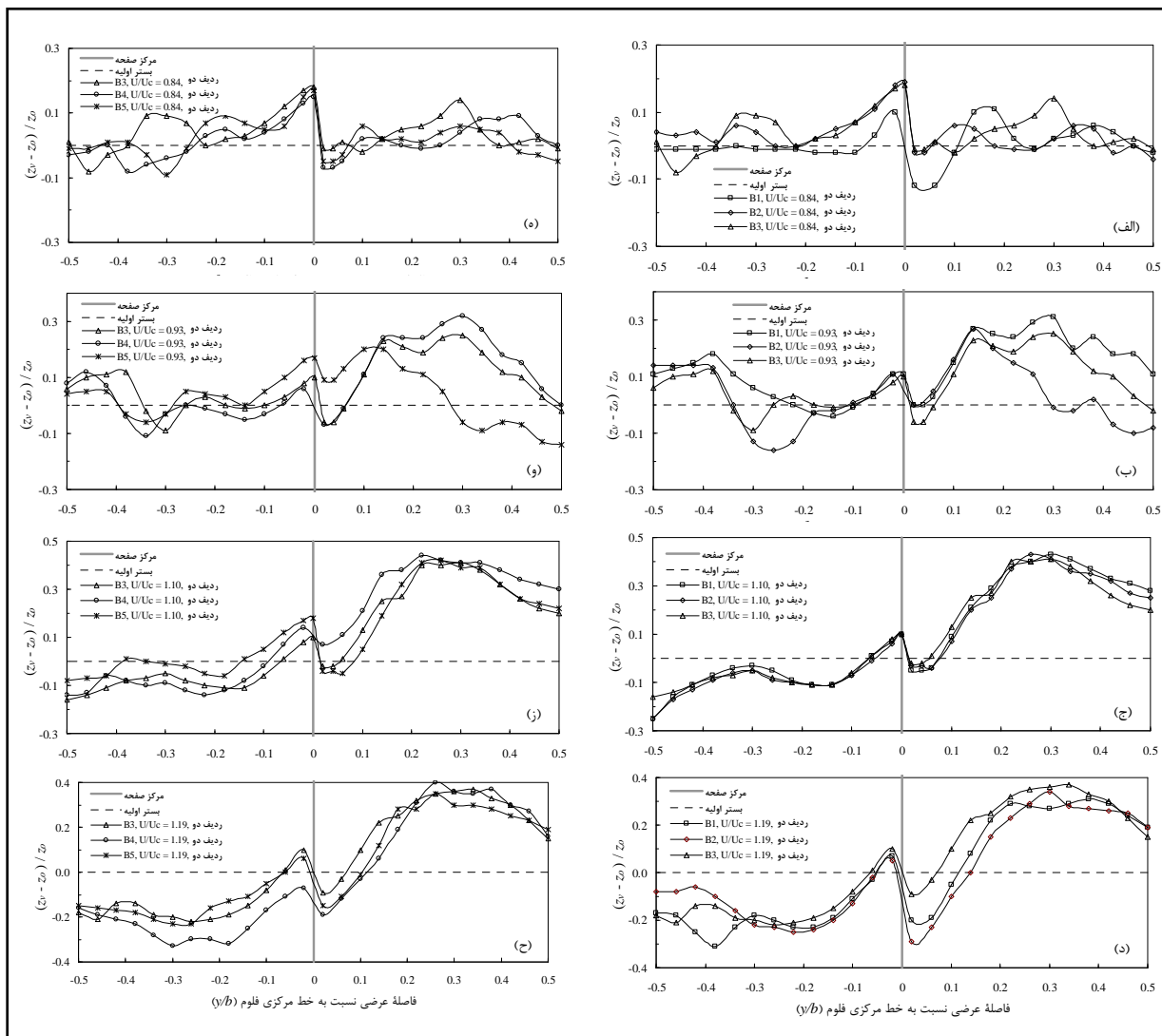
جدول ۳- عمق آب شستگی و درصد کاهش آب شستگی در محل لبه ابتدایی اولین صفحه، در شدت های جریان مختلف

$U/U_c = 1/19$		$U/U_c = 1/10$		$U/U_c = 0/93$		$U/U_c = 0/78$		نوع صفحه
درصد	عمق	درصد	عمق	درصد	عمق	درصد	عمق	
کاهش	آب شستگی	صفحه						
(درصد)	(سانسی متر)							
۰/۰	۵/۹	۰/۰	۴/۹	۰/۰	۶/۵	۰/۰	۵/۲	B _۱
۱۵/۳	۵/۰	۲/۰	۴/۸	۶/۲	۶/۱	۵/۸	۴/۹	B _۲
۴۵/۸	۳/۲	۶/۱	۴/۶	۱۲/۳	۵/۷	۱۷/۳	۴/۳	B _۳
۲۲/۷	۴/۵	-۱۸/۴	۵/۸	۴/۶	۶/۲	۹/۶	۴/۷	B _۴
۲۲/۷	۴/۵	۳۲/۷	۳/۳	۹/۲	۵/۹	۷/۷	۴/۸	B _۵

تأثیر عامل شکل صفحات مستغرق بر مدیریت...

همه، نمودارهای ۶ (ب، و، ز) مغایر با این نتیجه هستند. یکی از دلایل محتمل برای بروز چنین مغایرتی، یکسان بودن تراکم رسوبات بستر در موارد مذکور است. در سیستم صفحات، گسترش چاله فرسایشی عمده‌تر در پیرامون صفحات اولین ردیف صورت می‌گیرد که مستقیماً در معرض جریان اصلی قرار دارد. در میدان تحت تأثیر صفحات ردیفهای پایین‌دست، در نتیجه همپوشانی جریان‌های چرخشی ناشی از صفحات، الگوی توزیع عرضی رسوبات، کامل می‌شود.

در شکل ۶، نیمرخ عرضی بستر رسوبی در مرکز دومین صفحه در سیستم صفحات نشان داده شده است. در این شکل نیز به منظور وضوح بیشتر نمودارها، ابتدا در شکل‌های ۶ (الف، ب، ج، د) نیمرخ‌های ناشی از سه نوع اول صفحات (B_1, B_2, B_3) ارائه شده است، سپس در شکل‌های ۶ (ه، و، ز، ح) نیمرخ‌های ناشی از صفحات B_4 و B_5 در مقایسه با صفحه B_3 ترسیم شده است. با توجه به B_3 نمودارهای ارائه شده، چاله فرسایشی ناشی از صفحه B_3 نسبت به سایر صفحات، کمتر گسترش یافته است. با این



شکل ۶- نیمرخ عرضی بستر رسوبی در محل مرکز دومین صفحه

$$U/U_c = 1/19 \quad (ج) \quad U/U_c = +/93 \quad (د) \quad U/U_c = 1/10 \quad (ز) \quad U/U_c = +/78 \quad (ه) \quad U/U_c = 1/10 \quad (ب) \quad U/U_c = +/93 \quad (ج) \quad U/U_c = +/78 \quad (الف)$$

از عمق آب‌شستگی کاسته شده است. چنان‌چه فاصله طولی بین صفحات (^۵) به گونه‌ای افزایش یابد که همپوشانی جریان چرخشی ناشی از صفحات تحت تأثیر قرار گیرد، آنگاه عمق آب‌شستگی در محل لبّه ابتدایی صفحات پایین‌دست نیز افزایش خواهد یافت.

در جدول ۴ درصد کاهش عمق آب‌شستگی در محل لبّه ابتدایی صفحات ردیف دوم و ردیف اول ارائه شده است. با توجه به این جدول، به طور متوسط در محل لبّه ابتدایی صفحات ردیف دوم ۵۲ درصد، و در محل لبّه ابتدایی صفحات ردیف سوم ۵۶ درصد (نسبت به صفحات ردیف اول)

جدول ۴- درصد کاهش عمق آب‌شستگی در محل لبّه ابتدایی صفحات ردیف دوم و سوم، نسبت به صفحه ردیف اول

نوع صفحات	شدت جریان	ردیف ۱	ردیف ۲	ردیف ۳
B_۱	۰/۷۸	مینا	۳۷	۴۲
	۰/۹۳	مینا	۵۱	۴۴
	۱/۱۰	مینا	۳۹	۳۷
	۱/۱۹	مینا	۲۷	۶۱
	۰/۷۸	مینا	۵۹	۶۱
	۰/۹۳	مینا	۵۷	۵۳
	۱/۱۰	مینا	۴۲	۵۰
	۱/۱۹	مینا	۲۲	۵۶
	۰/۷۸	مینا	۵۸	۶۱
	۰/۹۳	مینا	۵۸	۶۰
B_۲	۱/۱۰	مینا	۷۶	۵۴
	۱/۱۹	مینا	۴۱	۶۱
	۰/۷۸	مینا	۷۰	۷۲
	۰/۹۳	مینا	۵۲	۵۲
	۱/۱۰	مینا	۶۶	۸۶
	۱/۱۹	مینا	۳۴	۵۱
	۰/۷۸	مینا	۷۰	۶۱
	۰/۹۳	مینا	۶۸	۵۴
	۱/۱۰	مینا	۷۴	۴۸
	۱/۱۹	مینا	۴۷	۵۵

قطر کمتر از ۰/۹ میلی‌متر استفاده شده است، لذا تشکیل فرم‌های بستر متعلق به رژیم جریان پایینی در تمام آزمایش‌ها مشهود است. وجود فرم‌های بستر، مخصوصاً در شرایط آب‌شستگی آب زلال، مقایسه عملکرد صفحات را با مشکل مواجه می‌سازد؛ در نتیجه، برای مقایسه عملکرد صفحات در توزیع عرضی رسوبات، از نتایج آزمایش‌های با شرایط آب‌شستگی بستر متحرک استفاده شده است زیرا

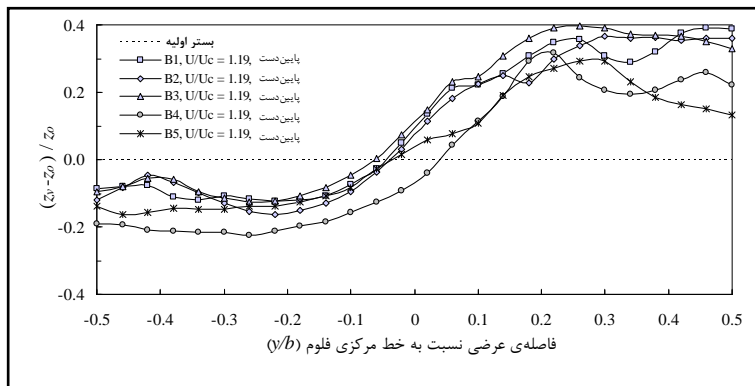
در شکل‌های ۶ (الف، ب، ۵) به دلیل وقوع آب‌شستگی آب زلال، امکان مقایسه الگوی رسوب‌گذاری و توزیع عرضی رسوبات وجود ندارد. با بررسی شکل‌های ۶ (ج، د، ز، ح) الگوی توزیع تقریباً مشابهی مشاهده می‌شود. شکل‌های ۶ (ز، ح) توانایی بیشتر صفحه B_۴ را در تعیین نیمه چپ بستر رسوبی (سمت کم‌فشار صفحات) نشان می‌دهند. با توجه به این‌که در تحقیق حاضر از رسوبات با

تأثیر عامل شکل صفحات مستغرق بر مدیریت...

ترسیم شده است. این شکل نیز نشان می‌دهد که عملکرد صفحه B_4 در ایجاد خاکریز در سمت پرفشار صفحات، بهتر از سایر صفحات بوده است. در عین حال به طور نسبی، صفحه B_4 در تعمیق بستر رسوی در سمت کم‌پوش صفحات عملکرد بهتری داشته است.

در این شرایط، انتقال رسویات از بالادست، روند توزیع عرضی رسویات را بهبود می‌بخشد. در شکل ۷، نیمرخ عرضی بستر رسوی در پایین دست صفحات ردیف دوم، به صورت متوسط نیمرخ عرضی بستر در سه مقطع که در فواصل $4H_o$ ، $2H_o$ ، و $6H_o$ نسبت به مرکز صفحات میانی داشتند، در

$$U/U_c = 1/19$$

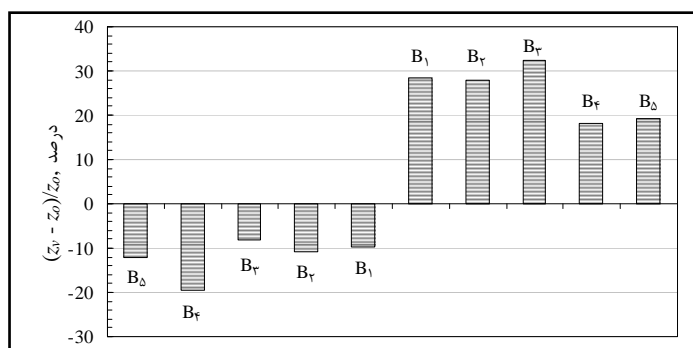


شکل ۷- نیمرخ عرضی بستر رسوی در پایین دست دومین صفحه

متوسط سه مقطع که به ترتیب در فاصله $4H_o$ ، $2H_o$ ، و $6H_o$ نسبت به مرکز صفحه قرار دارند، $U/U_c = 1/19$

ا، آب‌شستگی ناشی از صفحه B_4 در نیمه سمت چپ فلوم، دو برابر آب‌شستگی ناشی از صفحه B_1 است. آب‌شستگی ناشی از صفحات B_2 و B_5 به ترتیب $9/2$ و $24/5$ درصد بیشتر از آب‌شستگی ناشی از صفحه B_1 و آب‌شستگی ناشی از صفحه B_3 حدود $17/3$ درصد کمتر از صفحه B_1 بوده است. بنابراین از بین پنج صفحه مورد بررسی، عملکرد دو صفحه B_3 و B_4 در توزیع عرضی رسویات بستر مناسب بوده است.

به منظور مقایسه بهتر عملکرد صفحات در توزیع عرضی رسویات، متوسط افزایش یا کاهش تراز بستر بعد از نصب صفحات، نسبت به بستر رسوی اولیه، در شکل ۸ ترسیم شده است. با توجه به این شکل، تراز خاکریز ناشی از صفحه B_2 به میزان 14 درصد نسبت به صفحه B_1 افزایش یافته است. تراز خاکریز ناشی از صفحات B_4 ، B_5 و B_6 نسبت به صفحه B_1 به ترتیب به میزان $1/8$ ، $36/1$ و $32/6$ درصد کاهش یافته است. همچنین با توجه به شکل



شکل ۸- درصد متوسط افزایش و کاهش تراز بستر رسوی نسبت به بستر مسطح اولیه در پایین دست صفحات

نتیجه‌گیری

۴۵/۸ درصد کاهش یافته است. با ارزیابی نیمرخ عرضی بستر در مقطعی در مرکز صفحات ردیف دوم نیز روند مشابهی مشاهده شد.

بررسی الگوی توزیع عرضی رسوبات در شرایط آب‌شستگی بستر متحرک، در مقطعی در مرکز، و در سه مقطع در پایین دست صفحات ردیف دوم نشان می‌دهد که صفحه B_3 ، نسبت به سایر صفحات، عملکرد بهتری در رسوب‌گذاری و ایجاد خاکریز در سمت پرفشار صفحات دارد؛ در عین حال صفحه B_4 در تعمیق بستر رسوبی در سمت کم‌پشار صفحات عملکرد بهتری دارد. با در نظر گرفتن عملکرد بهتر صفحه نوع B_2 ، که هم باعث کاهش آب‌شستگی موضعی اطراف آن و هم باعث توزیع عرضی بهتر رسوب در پایین دست آن شده است، این صفحه (B_2)، صفحه با لبه ابتدایی گرد شده و ضخامت کاهش یافته در امتداد طول صفحه) مناسب‌ترین صفحه تعیین شد.

در سیستم صفحات مورد بررسی، مشخص شد که بیشترین آب‌شستگی در پیرامون صفحات ردیف اول رخ می‌دهد، که مستقیماً در معرض جریان بالادست قرار دارند. در محل لبه ابتدایی صفحات ردیف دوم، به طور متوسط در حدود ۵۲ درصد، و در محل لبه ابتدایی صفحات ردیف سوم در حدود ۵۶ درصد، نسبت به صفحات ردیف اول، عمق آب‌شستگی کاهش یافته است.

با مقایسه نیمرخ‌های عرضی بستر رسوبی در محل لبه ابتدایی اولین صفحات مشخص شد که صفحه B_3 کمترین عمق آب‌شستگی را در محل لبه ابتدایی صفحات موجب می‌شود، به طوری که حداکثر عمق آب‌شستگی در محل لبه ابتدایی صفحه B_2 نسبت به صفحه مستطیلی ساده (صفحه B_1)، در شدت‌های جریان ۰/۷۸، ۰/۹۳، ۰/۱۰ و ۱/۱۹ به ترتیب به میزان ۱۷/۳، ۱۲/۳، ۶/۱ و ۱/۱۰ و نیزندگان لازم می‌دانند که از اداره کل راه و ترابری استان خوزستان به خاطر حمایت مالی این طرح تشکر نمایند.

قدرتانی

Azizi, R. and Shafai-Bejestan, M. 2011. Experimental investigation on the effect of submerged vanes on sedimentation patterns. Proceeding of the 4th Iran Water Resources Management Conference. April. 3-4. Amir-Kabir University of Technology. Tehran. Iran. (in Farsi)

Behzadipoor, A. 1997. Investigation on sedimentation at Amir-Kabir pump station and its reduction approaches. M. Sc. Thesis. Faculty of Water Science Engineering. Shahid Chamran University (SCU). Ahvaz. Iran. (in Farsi)

Hosaini, S., Hosainzadeh-Dalir, A., Farsadizadeh, D. and Uornaghi, H. 2010. Scour control around rectangular piers using submerged vanes and collar. Proceeding of the 9th Iranian Hydraulic Conference. Nov. 9-11. Tarbiat Modares University (TMU). Tehran. Iran. (in Farsi)

Odgaard, A. J. 2008. River Training and Sediment Management with Submerged Vanes. ASCE Press. Washington D. C.

Odgaard, A. J. and Kennedy, J. F. 1983. River-bend bank protection by submerged vanes. J. Hydraul. Eng. ASCE. 109(8): 1161-1173.

- Odgaard, A. J. and Spoljaric, A. 1986. Sediment control by submerged vanes. *J. Hydraul. Eng. ASCE.* 112(12): 1164-1181.
- Odgaard, A. J. and Mosconi, C. E. 1987. Streambank protection by submerged vanes. *J. Hydraul. Eng. ASCE.* 113(4): 520-536.
- Odgaard, A. J. and Wang, Y. 1991a. Sediment management with submerged vanes, I: Theory. *J. Hydraul. Eng. ASCE.* 117(3): 267-283.
- Odgaard, A. J. and Wang, Y. 1991b. Sediment management with submerged vanes, II: Application. *J. Hydraul. Eng. ASCE.* 117(3): 284-302.
- Ouyang, H. T. 2009. Investigation on the Dimensions and shape of a submerged vane for sediment management in alluvial channels. *Hydraul. Eng. ASCE.* 135(3): 209-217.
- Raudkivi, A. J. and Ettema, R. 1985. Scour at cylindrical bridge piers in armored beds. *Hydraul. Eng. ASCE.* 111(4): 713-731.
- Shams-Aldini-Nejad, A. and Keshavarzi, A. 2007. Determining optimum installation angle of submerged vanes based on its effect on sheet secondary currents. Proceeding of the 7th International River Engineering Seminar. Feb. 13-15. Shahid Chamran University (SCU). Ahvaz. Iran. (in Farsi)
- Soleimani-Osboei, H. R. 1996. Arrangement effect of submerged vanes on the bed morphology in river sections. M. Sc. Thesis. Faculty of Natural Resources. Tehran University. Tehran. Iran. (in Farsi)
- Tan, S. K., Yu, G., Lim, S. Y. and Ong, M. C. 2005. Flow structure and sediment motion around submerged vanes in open channel. *J. Waterw. Port. C- ASCE.* 131(3):132-136.
- Valizadeh, M., Keshavarzi, A. and Sistani, B. 2008. Effect of submerged vane on flow properties in compound channels. Proceeding of the 4th National Conference on Civil Engineering. May 6-8. University of Tehran. Tehran. Iran. (in Farsi)
- Wang, Y. 1991. Analysis of flow past submerged vanes. *J. Hydraul. Res.* 38(1): 65-71.
- Wang, Y., Odgaard, A. J., Melville, B. W. and Jain, S. C. 1996. Sediment control at water intakes. *J. Hydraul. Eng. ASCE.* 122(6): 353-356.

Effect of Submerged Vane Shape on Bed Sediment Management

R. Azizi*, M. Shafai-Bejestan and M. Ghomeshi

* Corresponding Author: Assistant Professor, Water Engineering Department, Faculty of Agriculture, Zanjan University, Zanjan, Iran. Email: re_azizi@ymail.com

Received: 25 April 2012, Accepted: 15 June 2013

The shape of a submerged vane is a major factor in the design of a vane system and affects the performance and secondary currents generated by the vanes. This study investigated the effect of five vane shapes on bed sediment processes (local scour at the leading edge and transverse distribution of sediment downstream of the vanes) at four flow intensities for a total of 20 experiments. The results of the comparison of vane-induced bed-level changes show that a vane with a rounded leading edge and decreased thickness in the longitudinal direction performed best at decreasing local scour at the edge of the vane by about 17.3% for $U/U_c = 0.78$, 12.3% for $U/U_c = 0.93$, 6.1% for $U/U_c = 1.10$, and 45.8% for $U/U_c = 1.19$. It was found that decreasing the cross-section area of the vane using shape modification decreased sedimentation and increased the sediment bed level on the high-pressure side of the vane.

Keywords: Local scour, Physical model, Secondary current, Submerged vane